p-ISSN 1907-9850 e-ISSN 2599-2740

ADSORPSI ION LOGAM Cu(II) DAN Cr(III) OLEH BIOSORBEN BATANG TANAMAN GUMITIR TERAKTIVASI ZnCl₂

Z. M. M. Tamba, E. Sahara*, I M. Siaka, dan I W. Suarsa

Program Studi Sarjana Kimia, Fakultas Matematika dan Ilmu Pengetahuan Alam, Universitas Udayana, Kabupaten Badung, Bali, Indonesia
*Email: emmy sahara@unud.ac.id

Article Received on: 6th Pebrury 2025 Revised on: 11th May 2025 Accepted on: 13th July 2025

ABSTRAK

Ion logam Cu(II) dan Cr(III) sering dijumpai dalam limbah sebagai akibat kegiatan industri. Adsorpsi adalah salah satu metode untuk mengurangi konsentrasi logam berat di perairan. Batang tanaman gumitir merupakan suatu biomassa limbah organik yang dapat dijadikan sebagai bahan biosorben. Penelitian ini bertujuan untuk mengetahui isotherm adsorpsi, kinetika adsorpsi, dan kapasitas adsorpsi biosorben batang gumitir yang diaktivasi dengan ZnCl₂ pada adsorpsi Cu(II) dan Cr(III). Penelitian ini meliputi penentuan perbandingan massa antara biosorben dan ZnCl₂ yang menghasilkan biosorben teraktivasi dengan kapasitas adsorpsi yang optimum, penentuan keasaman permukaan, luas permukaan, waktu kontak optimum, penentuan isoterm adsorpsi, kinetika adsorpsi, serta kapasitas adsorpsi batang gumitir terhadap logam Cu dan Cr dalam larutan. Biosorben batang gumitir teraktivasi ZnCl₂ dengan kapasitas adsorpsi optimum selanjutnya dikarakterisasi dengan FTIR untuk mengetahui gugus fungsinya. Hasil penelitian menunjukkan bahwa perbandingan massa antara biosorben dan aktivator ZnCl₂ untuk adsorpsi kedua logam yang optimum yaitu 1:1,25. Adsorben ini memiliki keasaman permukaan 1,7613 ± 0,0324 mmol/g dengan jumlah situs aktif sebesar 1,0609 \times 10²¹ ± 0,0195 molekul/g. Aktivasi mampu memperbesar luas permukaan dari 1,0082 ± 0,0204 m²/g tanpa aktiasi menjadi 4,1203 ± 1,1560 m²/g dengan aktivasi. Hasil FTIR menunjukkan bahwa batang gumitir teraktivasi ZnCl₂ mengandung gugus hidroksil (O-H), C-H, dan karbonil (C-O). Adsorpsi optimum untuk kedua ion logam dicapai dengan waktu kontak 60 menit. Adsorpsi ion logam Cu(II) dan Cr(III) oleh batang gumitir teraktivasi ZnCl₂ mengikuti pola isoterm Freundlich, dan model kinetika adsorpsi terhadap logam Cu cenderung mengikuti model kinetika orde satu, sedangkan logam Cr tidak mengikuti model kinetika orde satu maupun orde dua. Kapasitas adsorpsi batang gumitir teraktivasi ZnCl₂ terhadap ion logam Cu(II) dan Cr(III) berturut-turut sebesar 5,9672 mg/g dan 5,8674 mg/g.

Kata kunci: adsorpsi, aktivasi, batang gumitir, Cu(II) dan Cr(III), ZnCl₂

ABSTRACT

Cu(II) and Cr(III) metal ions are often found in waste as a result of industrial activities. Adsorption is one method to reduce the concentration of heavy metals in water. Marigold plant stems are organic waste biomass that can be applied as a biosorbent material. This research aimed to determine the adsorption isotherm, adsorption kinetics, and adsorption capacity of marigold stem biosorbent activated with ZnCl₂ for the adsorption of Cu(II) and Cr(III). In this research, the mass ratio of biosorbent and ZnCl₂ was varied to produce an activated biosorbent with optimum adsorption capacity. The surface acidity, surface area, optimum contact time, adsorption isotherm, adsorption kinetics, and adsorption capacity of marigold stem on Cu and Cr metals in solution were also determined. ZnCl2-activated marigold stem biosorbent with optimum adsorption capacity was then characterized by FTIR to know its functional groups. The research results showed that the mass ratio between the biosorbent and ZnCl2 activator for the optimum adsorption of the two metal ions was 1:1.25. The adsorbent had a surface acidity of 1.7613 ± 0.0324 mmol/g and the number of active sites of $1.0609 \times 1021 \pm 0.0195$ molecules/g. Activation was able to increase the surface area from 1.0082 ± 0.0204 m²/g without activation to 4.1203 ± 1.1560 m²/g with activation. The FTIR result showed that the ZnCl₂-activated marigold stem contained the functional groups of hydroxyls (O-H), C-H, and carbonyl (C=O). Optimum adsorption for both metal ions was achieved with a contact time of 60 minutes. The adsorption of Cu(II) and Cr(III) metal ions by ZnCl₂-activated marigold stem followed the Freundlich isotherm pattern, and the adsorption kinetics model for Cu metal tended to follow the first-order kinetic model. On the other hand, Cr metal did not follow the first-order or second-order kinetic model. The adsorption capacities of ZnCl₂-activated marigold stem towards Cu(II) and Cr(III) metal ions were 5.9672 mg/g and 5.8674 mg/g, respectively.

Keywords: adsorption, activation, marigold stem, Cu(II) and Cr(III), ZnCl₂

PENDAHULUAN

Kegiatan industri menghasilkan limbah yang dapat mencemari lingkungan dan makhluk hidup disekitarnya. Limbah hasil kegiatan industri biasanya mengandung logam berat yang berbahaya, seperti krom (Cr), tembaga (Cu), seng (Zn), dan lain-lain. Salah satu cara mengurangi dampak pencemaran logam berat yaitu dengan metode adsorpsi. Adsorpsi adalah peristiwa terserapnya suatu zat berupa molekul ataupun ion pada permukaan adsorben.

Metode adsorpsi digunakan karena aman dan tidak memberikan efek samping yang berbahaya untuk kesehatan, praktis dan murah, serta mudah dikerjakan, dan adsorben dapat didaur ulang (Erdawati, 2008). Batang tanaman gumitir dapat dijadikan sebagai biosorben untuk metode adsorpsi karena batang tanaman gumitir mengandung karbon lebih dari 40% (Lersel, 2006). Selain itu tanaman gumitir juga sangat mudah dijumpai terutama di daerah Bali.

Karbonisasi batang gumitir pada suhu 300°C selama 90 menit menghasilkan arang dengan karakteristik yang memenuhi SNI (Siaka et al., 2016). Aktivasi terhadap arang ini dengan berbagai aktivator kimia mampu meningkatkan daya serapnya terhadap beberapa logam, diantaranya dengan NaOH untuk penyerapan terhadap iod dan metilen biru (Sahara et al., 2017), H₃PO₃ untuk penyerapan terhadap zat warna Rhodamine-B (Sahara et al., 2018), dan ZnCl₂ untuk penyerapan terhadap iod dan metilen biru (Sahara et al., 2019). Penambahan larutan asam, basa, garam, senyawa organik, dan agen pengoksidasi pada aktivasi arang memisahkan komponen pengganggu (Shukla dan Pai, 2005). Penggunaan activator ZnCl₂ untuk aktivasi arang batang gumitir menghasilkan arang aktif dengan kapasitas adsorpsi lebih baik dibandingkan dengan yang tidak teraktivasi (Sahara et al., 2019).

Selain dalam bentuk arang, suatu biomassa dapat digunakan sebagai adsorben dalam bentuk tanpa melalui proses pengarangan/karbonisasi. Berbagai bahan lain yang dapat digunakan sebagai biosorben untuk logam berat Cu dan Cr adalah kulit kopi (Ardiansyah *et al.*, 2018), serat sabut kelapa hijau (Sudiarta dan Sulihingtyas, 2012), dan serat sabut kelapa (Sudiarta dan Sahara, 2011). Penelitian terdahulu sudah dilakukan oleh Sahara (2019) untuk penyerapan terhadap iod dan metilen biru dengan aktivator ZnCl₂, Sahara (2024) untuk penyerapan terhadap Cu dan Cr menggunakan aktivator asam fosfat

dengan biosorben kulit kopi. Dibandingkan dengan penggunaan arang sebagai adsorben, penggunaan suatu bahan dalam bentuk serbuk biosorben memberikan hasil analisis yang lebih cepat dan murah karena tidak membutuhkan alat khusus seperti tanur dan prosedurnya yang lebih sedikit tahapannya.

Dari latar belakang di atas perlu dilakukan pembuatan biosorben dari batang gumitir dan aktivasinya dengan aktivator ZnCl₂ yang optimum untuk adsorpsi ion Cu(II) dan Cr(III) dalam larutan. Selanjutnya perlu diteliti keasaman permukaan, luas permukaan dan waktu kontak optimum, isotherm adsorpsi, kapasitas dan kinetika adsorpsi biosorben terhadap ion Cu(II) dan Cr(III) dalam larutan, serta gugus fungsi biosorben batang gumitir.

MATERI DAN METODE

Bahan

Bahan-bahan yang digunakan dalam penelitian ini, yaitu batang gumitir, $ZnCl_2$, $Cu(NO_3)_2.3H_2O$, larutan $Cr(NO_3)_2$, metilen biru klorida, $C_2H_2O_4.H_2O$, HNO_3 , NaOH, HCl indikator fenolftalein, serbuk KBr, dan aquades.

Peralatan

Peralatan yang digunakan dalam penelitian ini yaitu neraca analitik, cawan petri, gelas beaker, erlenmeyer, labu ukur, pipet volume, pipet ukur, bola hisap, buret, klem, statif, ayakan 150 µm dan 250 µm, *magnetic stirrer*, batang pengaduk, corong, mortar, alu, botol semprot, oven, desikator, pH meter, kertas saring Whatman no.12, kertas tissue, peralatan instrumen Spektrofotometer Serapan Atom, Spektrofotometer UV-Vis, dan FTIR.

Cara Kerja Preparasi Biosorben

Batang tanaman gumitir dicuci bersih dan dibilas dengan aquades. Batang gumitir dipotong kecil-kecil dan dikeringkan dengan oven pada suhu 100° C sampai massa konstan. Sampel dihaluskan menggunakan blender dan diayak dengan ayakan $150~\mu m$ dan $250~\mu m$. Hasil yang diperoleh dari pengayakan berupa serbuk batang gumitir dengan ukuran berkisar antara $150~\mu m$ dan $250~\mu m$.

Aktivasi Biosorben dengan Berbagai Konsentrasi ZnCl₂

Biosorben serbuk batang gumitir sebanyak 6g dimasukkan ke dalam 5 erlenmeyer dan ditambahkan 150 mL ZnCl₂ dengan konsentrasi 5%, 10%, 15%, 20%, dan 25% yang dilabeli BGA1, BGA2, BGA3, BGA4, dan BGA5 dan didiamkan selama 24 jam lalu disaring dan dibilas dengan aquades hingga pH netral. Serbuk batang gumitir yang sudah diaktivasi dikeringkan sampai massa konstan.

Penentuan Jumlah ZnCl₂ Optimum untuk Aktivasi

BGA1, BGA2, BGA3, BGA4, dan BGA5 sebanyak 1,0 g dimasukkan ke dalam 5 erlenmeyer dan ditambahkan 50 mL larutan Cu dan Cr dengan konsentrasi 100 mg/L dan diaduk menggunakan magnetic stirrer dengan waktu kontak 60 menit. Campuran disaring dan absorbansi filtrat diukur menggunakan Spektrofotometer Serapan Atom. Biosorben yang teraktivasi ZnCl₂ dengan perbandingan yang memberikan daya serap maksimum (diberi label BGA) akan digunakan dalam penelitian lebih lanjut. Kontrol digunakan biosorben tanpa aktivasi yang diberi label BGA0.

Karakterisasi dengan FTIR

BGA0 dan BGA4 sebanyak 0,3 g ditambahkan serbuk KBr dan dimampatkan dalam cetakan dengan pompa hidrolik sehingga membentuk pellet. Pellet dianalisis dengan FTIR yang diukur serapannya pada bilangan gelombang 400-4000 cm⁻¹.

Penentuan Luas Permukaan Biosorben Batang Gumitir

Serbuk batang gumitir teraktivasi ZnCl₂ dengan daya serap optimum (BGA4) dan BGA0 masing-masing sebanyak 0,1 g dimasukkan ke dalam erlenmeyer dan ditambahkan 20,0 mL larutan metilen biru 100 mg/L, lalu diaduk menggunakan *magnetic stirrer* pada waktu kontak 5, 10, 15, 20, 40, dan 60 menit. Campuran disaring dan absorbansi filtrat diukur dengan Spektrofoto-meter UV-Vis pada panjang gelombang maksi-mum 664 nm.

Penentuan Keasaman Permukaan Biosorben Batang Gumitir

BGA4 sebanyak 1,0 g dimasukkan ke dalam erlenmeyer dan ditambahkan 15,0 mL larutan NaOH 0,1 mg/L dan diaduk menggunakan magnetic stirrer selama 15 menit dan ditambahkan indikator fenolftalein 3-4 tetes. Campuran dititrasi dengan larutan HCl 0,1 mg/L dan volume HCl dicatat.

Penentuan Waktu Setimbang Adsorpsi Logam Cu dan Cr

BGA4 sebanyak 1,0 g dimasukkan ke dalam 5 erlenmeyer dan ditambahkan 50 mL larutan Cu dan Cr 100 mg/L dan diaduk menggunakan *magnetic stirrer* selama 20, 40, 60, 90, dan 120 menit. Campuran disaring dan absorbansi filtrat diukur dengan Spektrofotometer Serapan Atom.

Penentuan Isoterm Adsorpsi Biosorben Batang Gumitir

BGA4 sebanyak 1,0 g dimasukkan ke dalam 6 erlenmeyer dan ditambahkan 50 mL larutan Cu dan Cr dengan konsentrasi 10, 20, 30, 50, 70, dan 100 mg/L dan diaduk menggunakan *magnetic stirrer* selama waktu setimbang. Campuran disaring dan absorbansi filtrat diukur dengan Spektrofotometer Serapan Atom.

Penentuan Kapasitas Adsorpsi Biosorben Batang Gumitir

BGA4 sebanyak 1,0 g dimasukkan ke dalam 5 erlenmeyer dan ditambahkan 50 mL larutan Cu dan Cr dengan konsentrasi isoterm adsorpsi dan diaduk menggunakan *magnetic stirrer* selama waktu setimbang. Campuran disaring dan absorbansi filtrat diukur dengan Spektrofotometer Serapan Atom.

Penentuan Kinetika Adsorpsi Biosorben Batang Gumitir

BGA4 sebanyak 1,0 g dimasukkan ke dalam 9 erlenmeyer dan ditambahkan 50 mL larutan Cu dan Cr dengan konsentrasi isoterm adsorpsi dan diaduk menggunakan *magnetic stirrer* selama 0, 5, 10, 20, 30, 45, 60, 90, dan 120 menit. Campuran disaring dan absorbansi filtrat diukur dengan Spektrofotometer Serapan Atom.

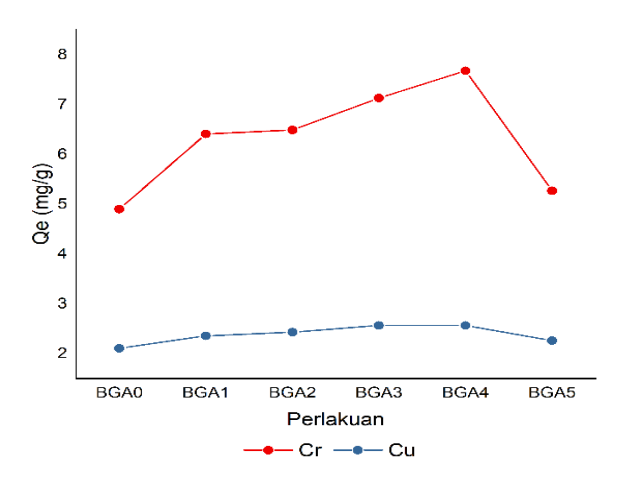
HASIL DAN PEMBAHASAN

Penentuan Kapasitas Adsorpsi Biosorben Batang Gumitir

Hasil penentuan kapasitas adsorpsi biosorben batang gumitir terhadap logam Cu dan Cr dengan berbagai perbandingan massa biosorben dan ZnCl₂ dapat dilihat pada Gambar 1.

Berdasarkan Gambar 1 dapat dilihat bahwa terjadi kenaikan kapasitas adsorpsi setiap kenaikan konsentrasi aktivator yang digunakan. Akan tetapi pada perlakuan BGA5 terjadi penurunan kapasitas adsorpsi yang disebabkan karena biosorben batang gumitir telah mencapai keadaan optimum pada perlakuan BGA4,

sehingga kapasitas adsorpsinva menurun. kapasitas adsorpsi terjadi karena Kenaikan meningkatnya konsentrasi aktivator, semakin tinggi konsentrasi aktivator maka kemampuan biosorbent untuk menjerap logam semakin besar. Penyerapan logam Cu dan Cr pada BGA4 yaitu sebesar $7.6801 \pm 0.9198 \text{ mg/g}$ dan $2.5687 \pm$ 0,1854 mg/g. aktivasi dilakukan untuk menghilangkan pengotor yang menutupi permukaan biosorben segingga pori-pori biosorben terbu-ka dan kapasitas adsorpsinya meningkat.



Gambar 1. Kapasitas Adsorpsi Biosorben Batang Gumitir terhadap Logam Cu dan Cr dengan Berbagai Perbandingan Massa Biosorben dan ZnCl₂

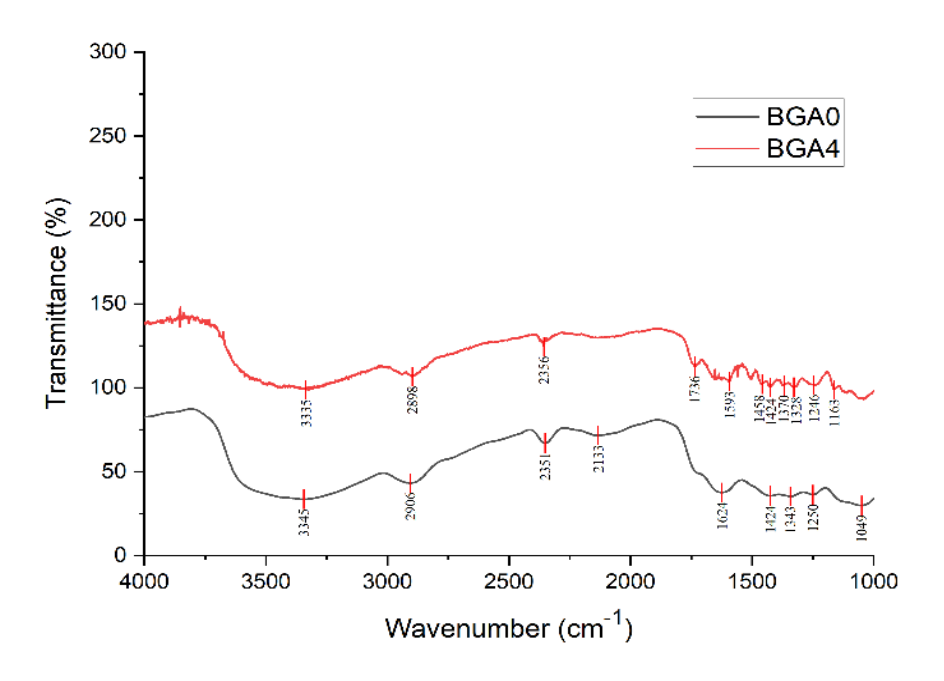
Keterangan:

Massa biosorben:aktivator, BGA1 = (1:1,25), BGA2 = (1:2,5), BGA3 = (1:3,75), BGA4 = (1:5), BGA5 = (1:6,25)

Karakterisasi dengan FTIR

Identifikasi gugus fungsi dilakukan pada biosorben batang gumitir tanpa aktivasi (BGA0) dan biosorben batang gumitir teraktivasi ZnCl₂ (BGA4). Proses aktivasi dengan ZnCl₂ memungkinkan adanya reaksi kimia sehingga membentuk gugus fungsi baru yang berperan sebagai situs aktif. Gambar 2 menunjukkan spektra pengujian gugus fungsi dengan FTIR untuk BGA0 dan BGA4.

Berdasarkan hasil pengamatan spektra biosor-ben batang gumitir pada Gambar 2 tidak memiliki perbedaan yang signifikan, namun hanya terjadi pergeseran bilangan gelombang dan perbedaan intensitas spektra. Pada Gambar 2 dapat dilihat bahwa terdapat gugus hidroksil (O–H) yang merupakan gugus fungsi selulosa dan hemiselulosa pada bilangan gelombang 3344 dan 3335 cm⁻¹. Pita serapan pada bilangan gelombang 2906 dan 2898 cm⁻¹ menunjukkan adanya gugus C–H, sedangkan pada bilangan gelombang 1736 cm⁻¹ terdapat gugus karbonil (C=O) yang merupakan gugus fungsi lignin.



Gambar 2. Spektra FTIR Biosorben Batang Gumitir

Penentuan Luas Permukaan Spesifik Biosorben Batang Gumitir

Hasil adsorpsi metilen biru dan luas permukaan dari BGA0 dan BGA4 dapat dilihat pada Tabel 1.

Tabel 1. Luas Permukaan Biosorben Batang Gumitir terhadap Metilen Biru

Waktu	Luas	Luas Permukaan	
(menit)	Permukaan		
	$BGA4 (m^2/g)$	$BGA0 (m^2/g)$	
5	5,8094	1,0348	
10	4,7975	1,0271	
15	4,4755	1,0118	
20	3,6322	1,0010	
40	3,5096	0,9934	
60	2,4976	0,9811	
Rata-	4,1203	1,0082	
rata	•	•	

Berdasarkan Tabel 1 dapat dilihat bahwa biosorben batang gumitir teraktivasi ZnCl₂ memiliki luas permukaan yang lebih besar dibandingkan dengan biosorben batang gumitir tidak teraktivasi. Semakin luas permukaan biosorben maka semakin besar kapasitas adsorpsinya. Pada Tabel 1 dapat dilihat adanya penurunan luas permukaan tiap kenaikan waktu. Luas permukaan biosorben batang gumitir teraktivasi dan tidak teraktivasi masing-masing sebesar 4,1203 m²/g dan 1,0082 m²/g. Kenaikan luas permukaan yang terjadi disebabkan oleh aktivator ZnCl₂ yang dapat melarutkan pengotor yang menutupi pori-pori biosorben (Manurung, 2019).

Penentuan Keasaman Permukaan dan Situs Aktif Biosorben Batang Gumitir

Hasil penentuan keasaman permukaan dan jumlah situs aktif dapat dilihat pada Tabel 2.

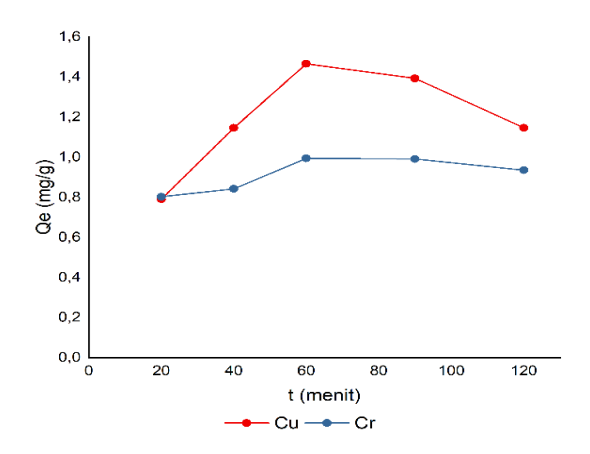
Tabel 2. Keasaman Permukaan dan Jumlah Situs Aktif pada BGA4

Ulangan	Keasaman Permukaan (mmol/g) ± SD	Jumlah situs aktif (molekul/g) ± SD
I	1,7988	$1,0834 \times 10^{21}$
II	1,7426	$1,0496 \times 10^{21}$
III	1,7426	$1,0496 \times 10^{21}$
Rata- rata	$1,7614 \pm 0,0325$	$1,0608 \times 10^{21} \\ \pm 0,0195$

Berdasarkan Tabel 2 dapat dilihat keasaman permukaan dan situs aktif biosorben batang gumitir masing-masing yaitu sebesar $1,7613 \pm 0,0324$ mmol/g dan $1,0609 \times 10^{21} \pm 0,0195$ molekul/g. Semakin besar nilai keasaman permukaan biosorben maka semakin besar daya serapnya yang disebabkan karena bertambahnya jumlah situs aktif pada biosorben. Semakin banyak jumlah situs aktif pada biosorben maka semakin banyak ion logam yang dapat diadsorpsi karena pada proses adsorpsi, situs aktif berperan sebagai donor proton dan digantikan oleh ion logam (Sahara, 2024).

Penentuan Waktu Setimbang Adsorpsi Biosorben Batang Gumitir

Grafik kapasitas adsorpsi biosorben batang gumitir terhadap logam Cu dan Cr pada variasi waktu kontak dapat dilihat pada Gambar 3.

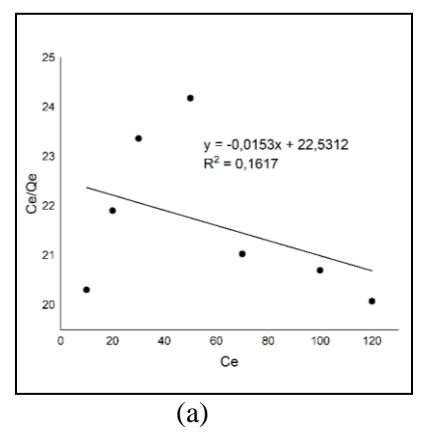


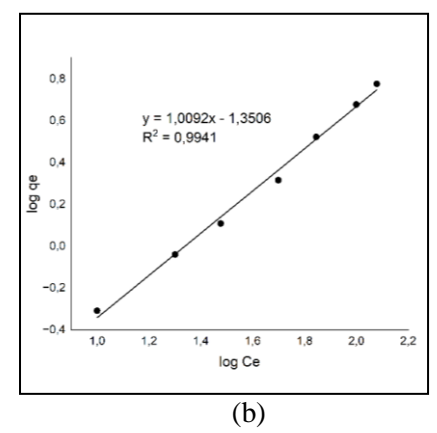
Gambar 3. Kurva Waktu Kontak Biosorben Batang Gumitir Teraktivasi terhadap logam Cu dan Cr

Gambar 3 menunjukkan bahwa terjadi kenaikan kapasitas adsorpsi hingga waktu 60 menit dan mulai mengalami penurunan kapasitas adsorpsi pada waktu 90 menit. Hal ini dikarenakan kapasitas adsorpsi biosorben telah jenuh sehingga terjadi kesetimbangan antara ion logam dalam biosorben dengan lingkungannya (Chen, 2022).

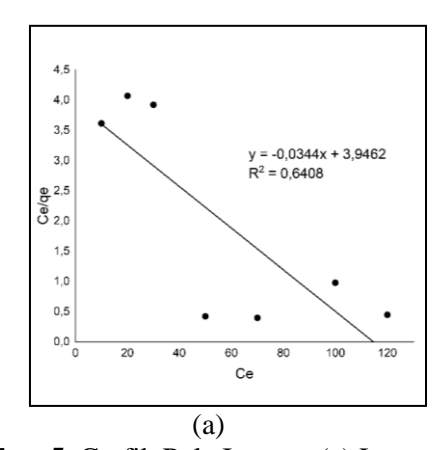
Penentuan Kapasitas dan Isoterm Adsorpsi Biosorben Batang Gumitir

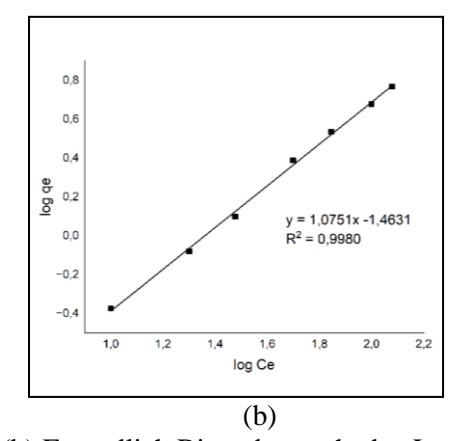
Pola isoterm adsorpsi dapat diketahui dengan membandingkan persamaan linier isoterm Langmuir dengan persamaan linier Freundlich. Pola isoterm Freundlich dan Langmuir pada biosorben batang gumitir terhadap logam Cu dan Cr dapat dilihat pada Gambar 4 dan 5.





Gambar 4. Grafik Pola Isoterm (a) Langmuir (b) Freundlich Biosorben terhadap Logam Cu



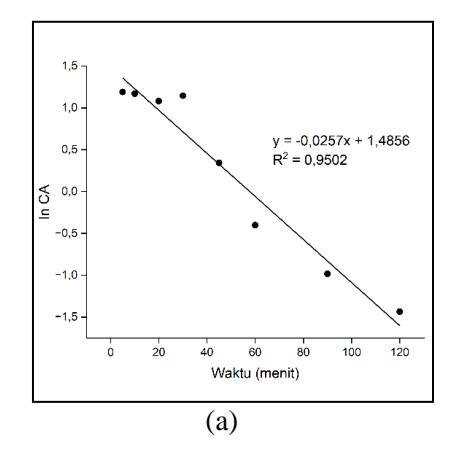


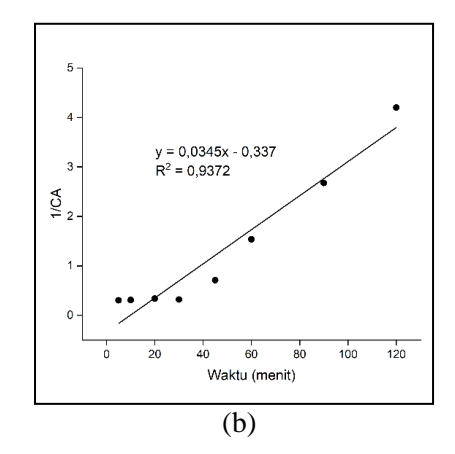
Gambar 5. Grafik Pola Isoterm (a) Langmuir (b) Freundlich Biosorben terhadap Logam Cr

Gambar 4 menunjukkan bahwa persamaan isoterm Langmuir dan Freundlich pada adsorpsi logam Cu memiliki nilai R² berturut-turut sebesar 0,1617 dan 0,9941. Gambar 5 menunjukkan bahwa persamaan isoterm Langmuir Freundlich pada adsorpsi logam Cr memiliki nilai R² berturut-turut sebesar 0,6408 dan 0,9980. Dalam hal ini pola isoterm yang terjadi pada adsorpsi logam Cu dan Cr oleh biosorben batang gumitir mengikuti pola isoterm Freundlich karena memiliki nilai R² yang paling mendekati 1. Molekul adsorbat pada pola isoterm Freundlich bersifat heterogen karena situs aktif yang ada pada permukaan biosorben menyerap beberapa molekul adsorbat serta interaksi antara adsorbat dan biosorben terjadi pada beberapa lapisan permukaan (multilayer) (Amelia. Kapasitas adsorpsi logam Cu dan Cr oleh biosorben batang gumitir berturut-turut sebesar 5,9672 mg/g dan 5,8674 mg/g.

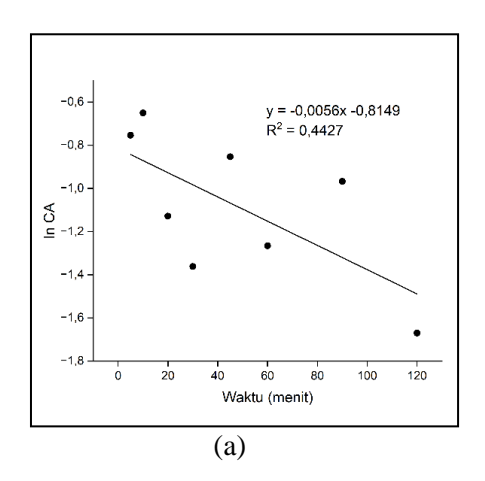
Penentuan Kinetika Adsorpsi Biosorben Batang Gumitir

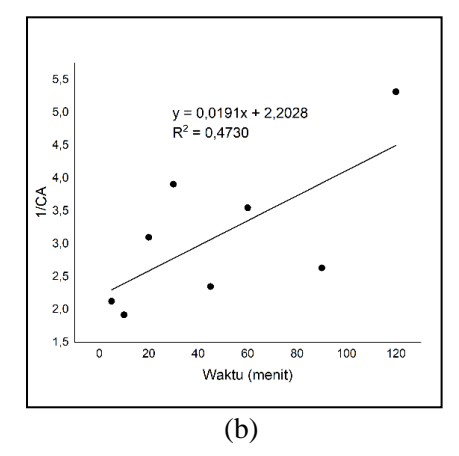
Penentuan kinetika adsorpsi dilakukan untuk mengetahui laju adsorpsi Cu dan Cr pada biosorben batang gumitir yang dilakukan dengan membandingkan persamaan linier reaksi orde satu dan reaksi orde dua. Pada reaksi orde satu, nilai koefisien korelasi (R²) diperoleh dengan membuat grafik hubungan antara ln CA terhadap waktu, sedangkan pada kinetika reaksi orde dua, nilai koefisien korelasi (R²) diperoleh dengan membuat grafik hubungan antara 1/CA terhadap waktu. Nilai konstanta kinetika (k) diperoleh menggunakan persamaan kinetika orde satu dan orde dua. Model kinetika orde satu dan orde dua oleh biosorben batang gumitir terhadap logam Cu dan Cr dapat dilihat pada Gambar 6 dan 7.





Gambar 6. Grafik Model Kinetika Adsorpsi (a) Orde Satu (b) Orde Dua Biosorben Batang Gumitir terhadap Logam Cu





Gambar 7. Grafik Model Kinetika Adsorpsi (a) Orde Satu (b) Orde Dua Biosorben Batang Gumitir terhadap Logam Cr

Tabel 3. Parameter Kinetika Adsorpsi Biosorben Batang Gumitir terhadap

Logam	Orde	k rata-rata	\mathbb{R}^2
	Reaksi		
Cu	1	0,1629	0,9502
		menit ⁻¹	
	2	0,0269	0,9372
		menit ⁻¹ ppm ⁻¹	
Cr	1	0,2638	0,4427
		menit ⁻¹	
	2	0,1346	0,4730
		menit ⁻¹ ppm ⁻¹	

Gambar 6 menunjukkan bahwa nilai koefisien korelasi (R²) untuk model kinetika adsorpsi biosorben batang gumitir terhadap logam Cu untuk orde satu dan orde dua berturutturut yaitu 0,9502 dan 0,9372.

Pada Gambar 7 terlihat bahwa nilai koefisien korelasi (R²) untuk model kinetika adsorpsi biosorben batang gumitir terhadap logam Cr untuk orde satu dan orde dua berturut-turut yaitu 0,4427 dan 0,4659. Berdasarkan data yang adsorpsi logam Cu cenderung diperoleh, mengikuti model kinetika orde satu karena nilai R² pada model kinetika orde satu pada logam Cu lebih besar dibandingkan nilai R² model kinetika orde dua. Adsorpsi logam Cr tidak mengikuti model kinetika orde satu maupun orde dua karena nilai R² pada orde satu maupun orde dua pada adsorpsi logam Cr sangat rendah. Nilai konstanta kinetika (k) menunjukkan cepat atau lambatnya proses adsorpsi berlangsung. Semakin tinggi nilai k maka semakin cepat adsorpsi berlangsung (Cahyani, 2020).

SIMPULAN

Perbandingan massa serbuk batang gumitir dan ZnCl₂ yang optimum untuk adsorpsi logam Cu(II) dan Cr(III) dalam larutan yaitu 1:1,25 dengan keasaman permukaan biosorben batang gumitir vang teraktivasi ZnCl2 dan situs aktif masing-masing sebesar $1,7613 \pm 0,0324 \text{ mmol/g}$ dan $1,0609 \times 10^{21} \pm 0,0195$ molekul/g. Luas permukaan biosorben batang gumitir teraktivasi dan tidak teraktivasi masing-masing sebesar $4,1203 \pm 1,1560 \text{ m}^2/\text{g} \text{ dan } 1,0082 \pm 0,0204 \text{ m}^2/\text{g}$ dengan waktu kontak optimum untuk adsorpsi logam Cu(II) dan Cr(III) 60 menit. Isotherm adsorpsi logam Cu dan Cr mengikuti pola isotherm Freundlich dengan kapasitas adsorpsi sebesar 5,8674 mg/g. Logam Cu cenderung mengikuti model kinetika orde satu, sedangkan logam Cr tidak mengikuti model kinetika orde satu maupun dua. Hasil pengujian spektra FTIR menunjukkan bahwa batang gumitir yang teraktivasi ZnCl₂ mempunyai gugus fungsi hidroksil (O-H), C-H, dan karbonil (C=O).

DAFTAR PUSTAKA

- Adriansyah, R., Restiasih, E. N., dan Meileza, N. 2018. Biosorpsi Ion Logam Berat Cu(II) dan Cr(VI) Menggunakan Biosorben Kulit Kopi Terxanthasi. *Jurnal Pendidikan dan Ilmu Kimia*. 2(2): 114-121.
- Amelia, H. dan Sunardi. 2023. Kajian Isoterm Adsorpsi Metilen Biru pada Biochar Kulit Sagu (*Metroxylon sagu*). *Jurnal Sains dan Teknologi*. 5(1): 1-9.
- Cahyani, R. D. 2020. Kinetika dan Isoterm Adsorpsi Zat Warna Rhodamin B Menggunakan Butiran Kitosan Terikatsilang Tripolifosfat (TPP) dan Glutaraldehid (GLA). *Skripsi*. UIN Maulana Malik Ibrahim. Malang.
- Chen, W. S., Chen, Y. C., and Lee, C. H. 2022. Modified Activated Carbon for Copper Ion Removal from Aqueous Solution. *Processes*. 10(1): 1-16.
- Erdawati. 2008. *Kapasitas Adsorpsi Kitosan dan Nanomagnetik Kitosan terhadap Ion Ni(II)*. Universitas Lampung. Lampung.

- Lersel, M. W. 2006. Respiratory Q10 of Marigold (Tagetes patula) in Response to Long-Term Temperature Differences and Its Realtionship to Growth and Maintenance Respiration. Physiologia Plantarum.
- Manurung, M., Ratnayani, O., dan Prawira, R. A. 2019. Sintesis dan Karakterisasi Arang dari Limbah Bambu dengan Aktivator ZnCl2. *Cakra Kimia*. 7(1): 69-77.
- Sahara, E., Dahliani, N. K., dan Manuaba, I. B. P. 2017. Pembuatan dan Karakterisasi Arang Aktif dari Batang Tanaman Gumitir (*Tagetes erecta*) dengan Aktivator NaOH. *Jurnal Kimia*. 11(2): 174-180.
- Sahara, E., Gayatri, P. S., Suarsa, I. W. 2018. Adsorpsi Zat Warna Rhodamin-B dalam Larutan oleh Arang Aktif Batang Tanaman Gumitir Teraktivasi Asam Fosfat. *Jurnal Kimia*. 6(1): 37-45.
- Sahara, E., Permatasari, D. E. 2019. Pembuatan dan Karakterisasi Arang Aktif dari Batang Limbah Tanaman Gumitir dengan Aktivator ZnCl₂. *Jurnal Kimia*, 13(1): 95-103.
- Sahara, E., Paramita, N. P. I., Parwata, I. M. O., and Siaka, I. M. 2024. Phosphoric Acid Activated Coffee Pulp Waste for Cu and Cr Adsorption. *International Journal of Chemical Engineering Research*. 11(2): 1-7.
- Shukla, S. and Pai, R. S. 2005. *Adsorption of Cu(II), Ni(II), and Zn(II) on Modified Jute Fibers*. University of Mumbai. Mumbai.
- Siaka, I. M., Febriyanti, N. P. D., Sahara, E., dan Negara, M. S. 2016. Pembuatan dan Karakterisasi Arang dari Batang Tanaman Gumitir (*Tagetes erecta*) pada Berbagai Suhu dan Waktu Pirolisis. *Cakra Kimia*. 4(2): 168-177.
- Sudiarta, I. W. dan Sahara, E. 2011. Biosorpsi Cr(III) pada Biosorben Serat Sabut Kelapa Teraktivasi Sodium Hidroksida. *Jurnal Kimia*. 5(1): 133-142.
- Sudiarta, I. W. dan Sulihingtyas, W. D. 2012. Biosorpsi Cr(III) pada Biosorben Serat Sabut Kelapa Hijau Teramobilisasi EDTA. *Jurnal Kimia*. 6(1): 29-36.